

ЛАБОРАТОРНАЯ РАБОТА № 2.11

ОПРЕДЕЛЕНИЕ СКОРОСТИ РАСПРОСТРАНЕНИЯ ЭЛЕКТРОМАГНИТНЫХ ВОЛН С ПОМОЩЬЮ ДВУХПРОВОДНОЙ ЛИНИИ

Цель работы

Целью данной работы является изучение процесса распространения электромагнитных волн и экспериментальное измерение скорости их распространения в воздухе методом стоячих волн.

Краткая теория

Ещё до того, как электромагнитные волны были впервые получены практически, Максвелл на основе своей теории электромагнитного поля вычислил их скорость. В диэлектрике скорость распространения электромагнитных волн

$$v = \frac{1}{\sqrt{\varepsilon \varepsilon_0 \mu \mu_0}}, \quad (2.11.1)$$

где ε и μ – диэлектрическая и магнитная проницаемость среды; $\varepsilon_0 = 8,85 \cdot 10^{-12}$ Ф/м – электрическая постоянная;

$\mu_0 = 4\pi \cdot 10^{-7}$ Гн/м – магнитная постоянная.

В соответствии с формулой (2.11.1) скорости распространения электромагнитных волн в различных средах, в том числе в горных породах, различны, т. к. различны их ε и μ . Поэтому при распространении электромагнитных волн в неоднородной среде, какой является, например, земная кора, возникают разнообразные явления (отражение, преломление, интерференция, дифракция волн) на границах геологических объектов. Изучение связанных с этими явлениями вторичных электромагнитных волн составляет предмет обширной группы методов геофизической разведки – высокочастотной электроразведки. Вторичные электромагнитные волны при этом позволяют получить информацию о форме и взаимном расположении геологических объектов, глубине их залегания и т. д.

В вакууме $\varepsilon = 1$, $\mu = 1$ и, согласно (2.11.1),

$$v = \frac{1}{\sqrt{\epsilon_0 \mu_0}} = \frac{1}{\sqrt{8,85 \cdot 10^{-12} \cdot 4\pi \cdot 10^{-7}}} = 3,00 \cdot 10^8 \text{ м/с} \quad (2.11.2)$$

Практически таким же является значение скорости распространения электромагнитных волн в воздухе. Поэтому результат, полученный в данной работе, должен с учётом допущенных при измерениях погрешностей совпадать со значением, рассчитанным в (2.11.2).

Электромагнитные волны – это распространяющиеся колебания электрического и магнитного полей. Если в точке $\mathbf{0}$ бесконечной однопроводной линии \mathbf{OX} (рис. 13) электрическое поле изменяется по гармоническому закону, то вдоль оси \mathbf{OX} с конечной скоростью будет распространяться («побежит») волна напряжённости электрического поля. Согласно законам, выраженным в уравнениях Максвелла, переменное электрическое поле

\vec{E} в каждой точке оси \mathbf{OX} будет порождать магнитное поле \vec{H} , которое также будет меняться по гармоническому закону. При этом колебания векторов напряженностей электрического

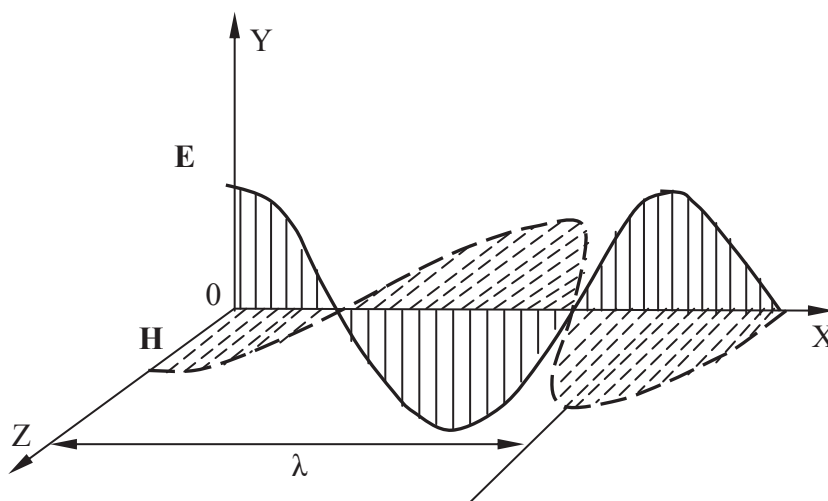


Рис. 13. Бегущая электромагнитная волна

поля \vec{E} и магнитного поля \vec{H} происходят во взаимно перпендикулярных плоскостях. Из решения уравнений Максвелла также следует, что колебания \vec{E} и \vec{H} будут происходить в одной фазе, так что в данный момент времени электрическое и магнитное поля будут достигать максимальных значений в одних и тех же точках пространства на оси \mathbf{OX} .

Расстояние между двумя ближайшими точками среды, колебания в которых отличаются по фазе на 2π , называется **длиной волны** λ (рис. 13).

Электромагнитные колебания можно возбудить и в двухпроводной линии, в так называемой схеме Лехера, представляющей собой два длинных провода, натянутых параллельно друг другу, в которые через индуктивную связь L_1-L_2 (рис. 14) передаётся энергия колебаний генератора.

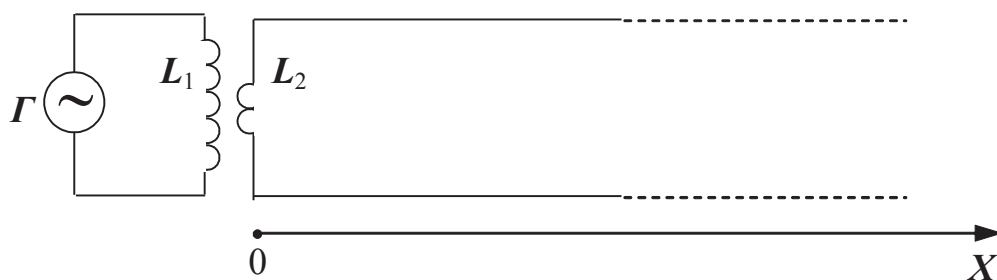


Рис. 14. Схема Лехера.

При включении генератора высокой частоты G вдоль линии начинает распространяться электромагнитная волна. При этом в пространстве между проводами вектор напряжённости электрического поля волны направлен от одного провода к другому (плоскость \vec{E}) и периодически (с частотой генератора) меняет своё направление на обратное. Вектор напряжённости магнитного поля волны колеблется в плоскости, перпендикулярной плоскости, в которой расположены провода (плоскость \vec{H}), и также периодически изменяет свое направление.

Векторы \vec{E} и \vec{H} перпендикулярны направлению скорости \vec{v} распространения волны и образуют с ним правовинтовую систему.

Внутри проводов течёт переменный ток. Если частота генератора достаточно высока, этот ток вследствие скин-эффекта сосредоточен в тонком цилиндрическом слое на поверхности каждого провода. Пренебрегая потерями энергии на джоулево тепло, выделяющееся в проводах, опишем процесс распространения колебаний \vec{E} и \vec{H} уравнениями плоской волны. Рассмотрим прямую бегущую волну \vec{E}_1 и \vec{H}_1 , распространяющуюся вдоль оси OX (рис. 14). Для проекций векторов \vec{E}_1 и \vec{H}_1 на плоскости E и H соответственно запишем

$$E_1 = E_0 \sin \left[\omega \left(t - \frac{x}{v} \right) \right],$$

$$H_1 = H_0 \sin \left[\omega \cdot \left(t - \frac{x}{v} \right) \right], \quad (2.11.3)$$

где E_0 и H_0 – амплитудные значения проекций напряжённостей электрического и магнитного полей; ω – циклическая частота колебаний; x – расстояние данной точки от источника колебаний;

v – скорость распространения волны.

При этом x/v – время, на которое запаздывают колебания в точке с координатой x по отношению к колебаниям в точке 0 .

Неоднородность среды является причиной появления отражённой волны. В данном опыте отражение возникает от дальней границы линии.

При возникновении отражённой волны один из векторов, \vec{E} или \vec{H} , меняет направление колебаний на противоположное (рис. 15). Фазовые соотношения между колебаниями \vec{E} и \vec{H} в падающей и отражённой волнах зависят от условий на границе. В частности, для разомкнутой линии отражение \vec{E} происходит в той же фазе, что и в падающей волне, а отражение \vec{H} – в противофазе (рис. 15, б). Если линия замкнута на конце, то отражение \vec{E} будет происходить в противофазе, а отражение \vec{H} в той же фазе (рис. 15, в).

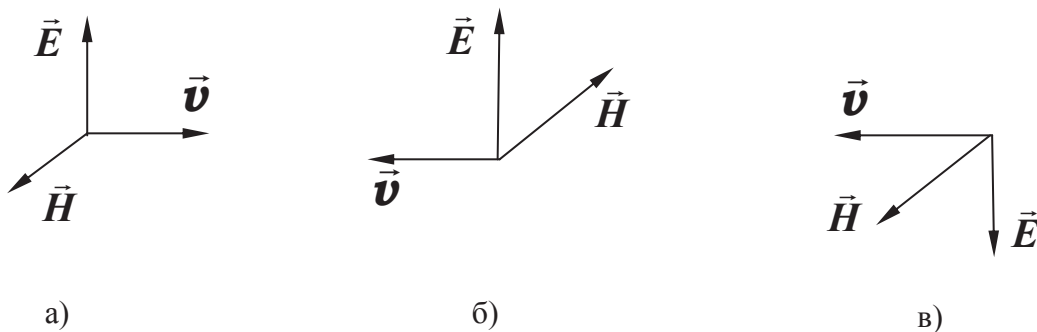


Рис. 15. Взаимная ориентация векторов напряжённости электрического и магнитного поля до (а) и после (б и в) отражения электромагнитной волны

Явление изменения фазы при отражении можно строго обосновать при помощи уравнений Максвелла, мы же ограничимся простыми качественными рассуждениями.

В нашем случае линия на конце разомкнута. Переменные токи, возникающие в проводах, будут вызывать на конце линии, граничащей с диэлектриком, наибольшие колебания зарядов. Здесь амплитуда колебаний вектора напряжённости электрического поля максимальна. Это значит, что электрическое поле в отражённой волне направлено так же, как и в падающей, т. е. оно не изменяет фазы колебаний при отражении. При этих же условиях амплитуда тока будет равна нулю. Это означает, что магнитное поле в отражённой волне направлено противоположно полю падающей волны или меняет фазу на π . Для проекций векторов напряжённостей электрического E_2 и магнитного H_2 полей в отраженной волне можно записать:

$$\begin{aligned} E_2 &= E_0 \sin \left[\omega \cdot \left(t + \frac{x}{v} \right) \right] \\ H_2 &= -H_0 \sin \left[\omega \cdot \left(t + \frac{x}{v} \right) \right] \end{aligned} \quad (2.11.4)$$

Знак «плюс» в круглых скобках означает, что отражённая волна распространяется в отрицательном направлении оси Ox .

Для вычисления результирующих векторов напряжённостей электрического \vec{E} и магнитного \vec{H} поля достаточно сложить соответствующие величины в прямой и отражённой волнах. Так, проекция вектора напряжённости результирующего электрического поля будет равна:

$$\begin{aligned} E &= E_1 + E_2 = E_0 \left\{ \sin \left[\omega \cdot \left(t - \frac{x}{v} \right) \right] + \sin \left[\omega \cdot \left(t + \frac{x}{v} \right) \right] \right\} = \\ &= 2E_0 \cos \left(\omega \frac{x}{v} \right) \cdot \sin \omega t \end{aligned} \quad (2.15.5)$$

Это *уравнение стоячей волны* – уравнение гармонических колебаний напряжённости результирующего электрического поля с амплитудой, зависящей от координаты точки наблюдения

$$2E_0 \cos\left(\omega \frac{x}{v}\right). \quad (2.11.6)$$

Проекция вектора напряжённости результирующего магнитного поля получается аналогично

$$H = H_1 + H_2 = H_0 \left\{ \sin\left[\omega \cdot \left(t - \frac{x}{v}\right)\right] - \sin\left[\omega \cdot \left(t + \frac{x}{v}\right)\right] \right\} = \\ = -2H_0 \cos\left(\omega \frac{x}{v}\right) \cdot \sin \omega t, \quad (2.11.7)$$

где $2H_0 \cos\left(\omega \frac{x}{v}\right)$ – амплитуда колебаний напряжённости результирующего магнитного поля.

В определённых точках двухпроводной линии *амплитуда напряжённости электрического поля стоячей волны достигает максимума*. Такие точки называются *пучностями* стоячей волны, а точки, в которых *амплитуда колебаний равна нулю*, называются *узлами* стоячей волны. Согласно (2.11.6), координаты x пучностей электрического поля определяются из условия:

$$\frac{\omega}{v} \cdot X = \pi \cdot n, \quad (2.11.8)$$

где n – целое число.

Учитывая, что $\omega = 2\pi f$, а $\frac{v}{f} = \lambda$, где f – частота, а λ – длина волны, получим для координат пучностей выражение:

$$X = n \cdot \frac{\lambda}{2}. \quad (2.11.9)$$

Из этого выражения видно, что расстояние между соседними пучностями равно половине длины волны $\lambda/2$.

Координаты узлов электрического поля определяются, согласно (2.11.6), условием

$$\frac{\omega}{v} \cdot X = (2n + 1) \cdot \frac{\pi}{2}, \quad (2.11.10)$$

где n – целое число.

Расстояние между соседними узлами также равно $\lambda/2$. Напряжённость магнитного поля в этих точках максимальная. Таким образом, в стоячей электромагнитной волне узлы электрического поля совпадают с пучностями магнитного поля и наоборот (рис. 16).

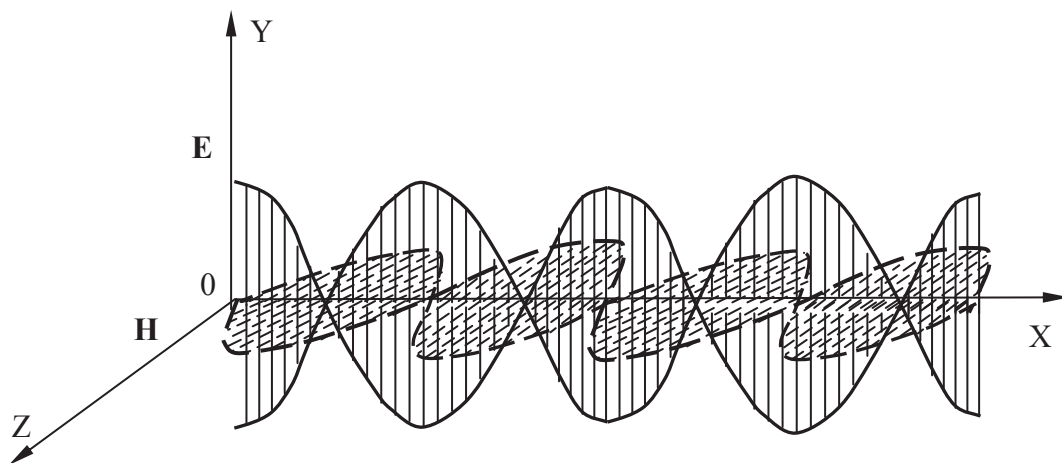


Рис. 16. Стоячие электромагнитные волны

Для экспериментального определения скорости \mathbf{v} распространения электромагнитной волны в воздухе с помощью двухпроводной линии достаточно измерить расстояние ΔX между соседними пучностями (или узлами) электрического (или магнитного) поля, вычислить, согласно (2.15.9), длину волны $\lambda = 2 \cdot \Delta X$ и найти скорость \mathbf{v} .

В данной работе индикатором пучностей электрического поля служит неоновая лампочка L , укрепленная на мостике M . Мостик устанавливается на двухпроводную линию перпендикулярно проводам. При перемещении мостика вдоль линии, в местах пучностей лампочка ярко загорается. Вместо неоновой лампочки можно воспользоваться обыкновенной лампочкой накаливания (например, от карманного фонаря), но тогда при перемещении мостика вдоль линии, лампочка накаливания будет загораться в местах узлов стоячей волны электрического поля. Расстояние между пучностями (узлами) измеряется с помощью мерной ленты, натянутой вдоль двухпроводной линии.

Выполнение работы

Необходимые приборы: генератор высокой частоты с датчиком, двухпроводная линия с мерной лентой, частотомер.

Схема экспериментальной установки приведена на рис. 17.

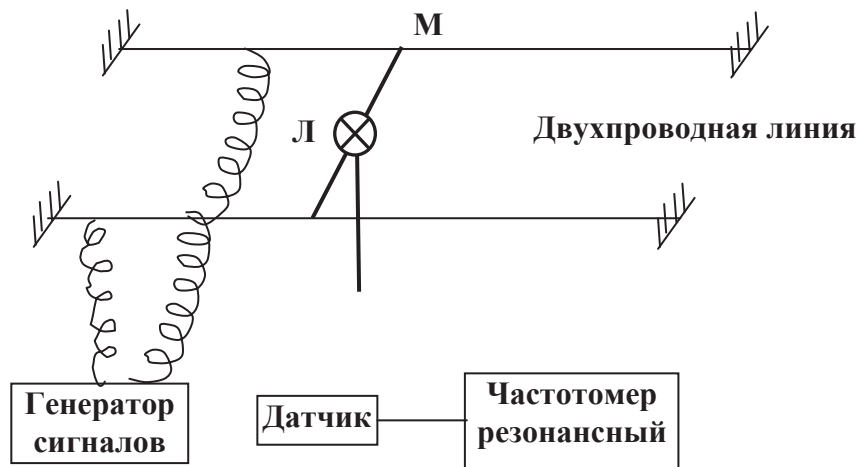


Рис. 17. Схема экспериментальной установки

Порядок выполнения работы

Включите генератор G в сеть и дайте ему прогреться.

Мостик M с неоновой лампочкой L подвесьте на провода у начала двухпроводной линии. Передвигая мостик вдоль линии, найдите пучности электрического поля по свечению лампочки. Запишите их координаты в нижнюю часть табл. 11.1.

По разности отсчётов определите расстояние между *соседними* пучностями ΔX . Опыт повторить столько раз, чтобы получилось не менее трёх значений ΔX , каждый раз вычисляя длину волны $\lambda = 2 \cdot \Delta X$. Затем найдите среднее значение длины волны $\bar{\lambda}$.

С помощью резонансного частотомера $Ч$ с индукционным датчиком $Д$ измерьте частоту f генератора. Для этого необходимо:

1. Поднести датчик вплотную к генератору.
2. Вращать ручку частотомера до тех пор, пока стрелка амперметра не будет максимально отклоняться. Это означает, что его частота совпала с частотой генератора.
3. Снимите отсчёт по верхней шкале частотомера и запишите в табл. 11.1.

Измерение частоты необходимо провести 3 раза и найти среднее значение \bar{f} . По результатам измерений вычислите среднее значение скорости распространения электромагнитных волн по формуле:

$$\bar{v} = \bar{\lambda} \cdot \bar{f}$$

Таблица 11.1

Результаты измерений

Номер опыта	ΔX , м	λ , м	$\Delta \lambda$, м	f , МГц	Δf , МГц
1					
2					
3					
Средние значения	$\Delta \bar{X} =$	$\bar{\lambda} =$	$\Delta \bar{\lambda} =$	$\bar{f} =$	$\Delta \bar{f} =$
Координаты пучностей	$X_1 =$	$X_2 =$	$X_3 =$	$X_4 =$	

По результатам измерений вычислите среднее значение скорости распространения электромагнитных волн по формуле:

$$\bar{v} = \bar{\lambda} \cdot \bar{f}$$

Вычислите относительную и абсолютную погрешности определения скорости электромагнитных волн

$$E_v = \frac{\Delta \lambda}{\lambda} + \frac{\Delta f}{f}$$

$$\Delta v = E_v \cdot v$$

Окончательный результат запишите в виде:

$$v = v \pm \Delta v$$

Сравните с (2.11.2) и сделайте вывод.

КОНТРОЛЬНЫЕ ВОПРОСЫ

1. От каких характеристик среды зависит скорость распространения электромагнитных волн?
2. Как образуется стоячая электромагнитная волна в двухпроводной линии?
3. Записать и пояснить уравнение стоячей волны.
4. Что называется пучностью и узлом стоячей волны?
5. . Каким образом проводится определение длины волны?
6. Расскажите о порядке выполнения работы.

РЕКОМЕНДУЕМАЯ ЛИТЕРАТУРА

Калашиников С. Г. Электричество. Общий курс физики. М.: Наука, 1985. 576 с.

Физический практикум. Электричество и оптика /Под ред. В. И. Ивероновой. М.: Наука, 1968. 815 с